

# Algorytmy równoległe 2015 (zad. 1)

Michał Liszcz

2015-10-11

## Contents

<b>1</b>	<b>Wstęp</b>	<b>2</b>
<b>2</b>	<b>Analiza problemu</b>	<b>2</b>
<b>3</b>	<b>Metoda różnic skończonych</b>	<b>2</b>
3.1	Dyskretyzacja dziedziny . . . . .	2
3.2	Dyskretyzacja równania . . . . .	3
3.3	Warunki brzegowe . . . . .	3
<b>4</b>	<b>Algorytm sekwencyjny</b>	<b>4</b>
<b>5</b>	<b>Algorytm równoległy</b>	<b>4</b>
5.1	Partitioning . . . . .	5
5.2	Communication . . . . .	5
5.3	Agglomeration . . . . .	5
5.4	Mapping . . . . .	5
<b>6</b>	<b>Analiza wyników</b>	<b>6</b>

# 1 Wstęp

Zaproponować algorytm równoległy wyliczający kolejne położenia drgającej membrany rozpiętej na kwadracie o ustalonym boku. Boki membrany są sztywno zamocowane (warunki brzegowe). Należy ustalić położenie początkowe i prędkość  $\left(\frac{\partial p}{\partial t}\right)_{t=0}$  (warunki początkowe).

Zastosować metodę różnicową do równania:

$$\frac{\partial^2 p}{\partial x^2} + \frac{\partial^2 p}{\partial y^2} - \frac{\rho}{T} \frac{\partial^2 p}{\partial t^2} = 0 \quad (1)$$

gdzie  $p(x, y)$  - położenie punktu membrany,  $\rho$  - gęstość powierzchniowa,  $T$  - napięcie membrany.

## 2 Analiza problemu

Równanie (1) to klasyczne równanie falowe. Podstawiając  $\frac{\rho}{T} := (c^2)^{-1}$ , można zapisać je w standardowej postaci:

$$[\partial_{tt} - c^2 \nabla^2] p(t, x, y) = 0 \quad (2)$$

Rozwiązania poszukujemy w obszarze  $\Omega$ :

$$\begin{aligned} \Omega &= [t_{\min}, t_{\max}] \times [x_{\min}, x_{\max}] \times [y_{\min}, y_{\max}] \\ W &= [x_{\min}, x_{\max}] \times [y_{\min}, y_{\max}] \end{aligned} \quad (3)$$

Zadane są następujące warunki brzegowe:

$$p(t, x, y) = 0 \quad \forall t \in [t_{\min}, t_{\max}], \forall (x, y) \in \partial W \quad (4)$$

Oraz warunki początkowe (membrana jest w pozycji  $P(x, y)$  i porusza się z prędkością  $S(x, y)$ ):

$$\left. \begin{aligned} p(0, x, y) &= P(x, y) \\ p_t(0, x, y) &= S(x, y) \end{aligned} \right\} \quad \forall (x, y) \in W \quad (5)$$

## 3 Metoda różnic skończonych

Poszukujemy rozwiązania numerycznego metodą różnic skończonych.

### 3.1 Dyskretyzacja dziedziny

W obszarze  $\Omega$  wprowadzamy siatkę dyskretnych punktów:

$$\left. \begin{aligned} \Delta t &= \frac{t_{\max} - t_{\min}}{K} \\ \Delta x &= \frac{x_{\max} - x_{\min}}{N} \\ \Delta y &= \frac{y_{\max} - y_{\min}}{M} \end{aligned} \right\} \quad (6)$$

$$\left. \begin{aligned} t_k &= x_{\min} + k\Delta t, & k &= 0, 1, \dots, K \\ x_n &= x_{\min} + n\Delta x, & n &= 0, 1, \dots, N \\ y_m &= y_{\min} + m\Delta y, & m &= 0, 1, \dots, M \end{aligned} \right\} \quad (7)$$

Oznaczamy wartość  $p$  w punktach siatki:

$$p(t_k, x_n, y_m) = p_{n,m}^k \quad (8)$$

### 3.2 Dyskretyzacja równania

Operatory różniczkowe występujące w równaniu zastępujemy operatorami różnicowymi. Dla pochodnych pierwszego rzędu zapisujemy różnicę centralną (średnią z ilorazów różnicowych “w przód” i “w tył”), natomiast pochodne drugiego rzędu otrzymujemy po odjęciu stronami rozwinięć  $p(x)$  w szereg Taylora wokół  $x_0$ , kładąc w nich  $x = x_0 \pm \Delta x$ . Wyprowadzenia poniższych przybliżeń można znaleźć w literaturze [1].

$$\left. \begin{aligned} \partial_t p(t_k, x_n, y_m) &\approx \frac{p_{n,m}^{k-1} - p_{n,m}^{k+1}}{2\Delta t} &:= D_t p_{n,m}^k \\ \partial_{tt} p(t_k, x_n, y_m) &\approx \frac{p_{n,m}^{k-1} - 2p_{n,m}^k + p_{n,m}^{k+1}}{(\Delta t)^2} &:= D_{tt} p_{n,m}^k \\ \partial_{xx} p(t_k, x_n, y_m) &\approx \frac{p_{n-1,m}^k - 2p_{n,m}^k + p_{n+1,m}^k}{(\Delta x)^2} &:= D_{xx} p_{n,m}^k \\ \partial_{yy} p(t_k, x_n, y_m) &\approx \frac{p_{n,m-1}^k - 2p_{n,m}^k + p_{n,m+1}^k}{(\Delta y)^2} &:= D_{yy} p_{n,m}^k \end{aligned} \right\} \quad (9)$$

Równanie (1) przyjmuje postać równania różnicowego:

$$\frac{p_{n,m}^{k-1} - 2p_{n,m}^k + p_{n,m}^{k+1}}{(\Delta t)^2} = c^2 \left( \frac{p_{n-1,m}^k - 2p_{n,m}^k + p_{n+1,m}^k}{(\Delta x)^2} + \frac{p_{n,m-1}^k - 2p_{n,m}^k + p_{n,m+1}^k}{(\Delta y)^2} \right) \quad (10)$$

Poszukujemy wartości  $p$  w chwili  $k+1$ , zakładając że znane jest całe rozwiązanie w chwilach poprzednich:

$$p_{n,m}^{k+1} = 2p_{n,m}^k - p_{n,m}^{k-1} + (\Delta t)^2 c^2 (D_{xx} + D_{yy}) p_{n,m}^k \quad (11)$$

### 3.3 Warunki brzegowe

Równanie (4) prowadzi do następujących warunków brzegowych:

$$p_{0,m}^k = p_{N,m}^k = p_{n,0}^k = p_{n,M}^k = 0 \quad \forall k, n, m \quad (12)$$

Warunki początkowe (5) są zadane przez odwzorowania  $P$  i  $S$ :

$$\begin{aligned} p_{n,m}^0 &= P_{n,m} \\ D_t p_{n,m}^0 &= S_{n,m} \end{aligned} \quad (13)$$

Drugie z powyższych równań rozpisujemy korzystając z definicji operatora  $D_t$ , kładziemy  $k=0$  w (11), a następnie eliminujemy ujemny czas, łącząc ze sobą te dwa równania:

$$\begin{aligned} p_{n,m}^{-1} - p_{n,m}^1 &= 2\Delta t S_{n,m} \\ p_{n,m}^1 &= 2p_{n,m}^0 - p_{n,m}^{-1} + (\Delta t)^2 c^2 (D_{xx} + D_{yy}) p_{n,m}^0 \\ p_{n,m}^1 &= p_{n,m}^0 - \Delta t S_{n,m} + \frac{1}{2} (\Delta t)^2 c^2 (D_{xx} + D_{yy}) p_{n,m}^0 \end{aligned} \quad (14)$$

## 4 Algorytm sekwencyjny

Algorytm sekwencyjny operuje na trójwymiarowej tablicy liczb zawierającej wartości  $p$  w trójkach  $(k, n, m)$ .

W pierwszej kolejności ustawiane są wartości dla  $k = 0$ , zgodnie z (13). Następnie dla  $k = 1$ , przy użyciu (14). Pozostała część tablicy uzupełniana jest na podstawie zadanego równania różnicowego (11).

W celu sprawdzenia poprawności rozwiązania, uruchomiłem program z następującymi parametrami:

$$\begin{aligned} t_{\min} &= x_{\min} = y_{\min} = 0 \\ t_{\max} &= x_{\max} = y_{\max} = 30 \\ K &= 100, \quad N, M = 30 \\ c &= 1 \end{aligned} \tag{15}$$

Przyjąłem nieznaczące początkowe zaburzenie na środku membrany:

$$\begin{aligned} P_{n,m} &= 5 \quad \forall (n, m) \in \{13, 14, 15, 16, 17\}^2 \\ P_{15,15} &= 7 \end{aligned} \tag{16}$$

W pozostałych punktach membrana jest w stanie równowagi:  $P_{n,m} = 0$ . W każdym punkcie membrana początkowo spoczywa ( $S_{n,m} = 0 \quad \forall n, m$ ).

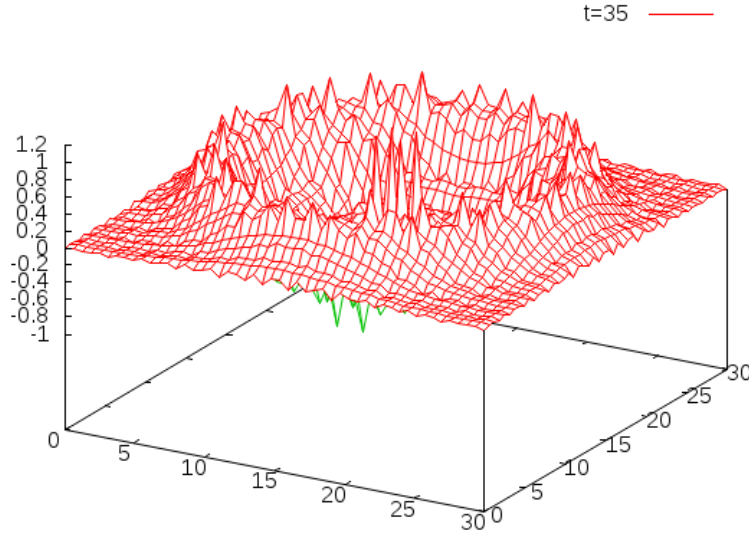


Figure 1: Wizualizacja fali rozchodzącej się w membranie.

Otrzymany wynik jest zgodny z przewidywaniami. Do sprawozdania dołączona jest animacja przedstawiająca propagację fali w czasie.

## 5 Algorytm równoległy

W dalszej części zostanie przedstawiony algorytm równoległy zgodny z metodologią PCAM.

Algorytm sekwencyjny uzupełniał trójwymiarową tablicę *warstwami*, kolejne iteracje były parametryzowane zmienną czasową (parametr  $k$ ). W każdej iteracji generowana była dwuwymiarowa tablica reprezentująca wartości w punktach siatki w ustalonej chwili  $t_k$ . Można ją utożsamiać z obszarem  $W$  gdzie zdefiniowano problem (3). Kolejne punkty opisują próbę efektywnego zrównoleglenia tego algorytmu.

## 5.1 Partitioning

Ze względu na model problemu, najlepiej dokonać tutaj dekompozycji domenowej, poprzez podzielenie *danych* na porcje, które przetwarzane będą równolegle.

Najmniejszym, niepodzielnym zadaniem jest obliczenie pojedynczego elementu z trójwymiarowej tablicy  $p_{n,m}^k$ . Takich elementów jest  $K \times N \times M$ .

Dekompozycja funkcjonalna nie ma tutaj zastosowania - jest tylko jeden rodzaj operacji.

## 5.2 Communication

Stosując dekompozycję zaproponowaną w poprzednim punkcie, można łatwo określić wymagania dotyczące komunikacji. Siatka użyta do dyskretyzacji przestrzeni narzuca strukturę komunikacyjną. Jest to komunikacja lokalna - do obliczenia wartości komórki  $p_{n,m}^{k+1}$  należy znać wartości:

$$p_{n,m}^k, \quad p_{n,m}^{k-1}, \quad p_{n-1,m}^k, \quad p_{n+1,m}^k, \quad p_{n,m-1}^k, \quad p_{n,m+1}^k \quad (17)$$

Daje to sześć wymian komunikatów dla każdej komórki.

## 5.3 Agglomeration

Przedstawiony w poprzednich punktach sposób podziału zadań i wynikający z niego schemat komunikacji jest bardzo nieefektywny.

W typowych zastosowaniach ilość zadań będzie kilka rzędów wielkości większa od liczby procesorów. Pojedyncze zadanie jest bardzo proste - składa się z kilku operacji dodawania i mnożenia.

Należy pogrupować zadania tak, by były wykonywane w sposób najbardziej efektywny na maszynie wyposażonej w kilkanaście procesorów.

W pierwszej kolejności zakładamy, że dane będziemy dzielić względem *przestrzeni*, to znaczy, że najmniejszą porcją danych z trójwymiarowej tablicy  $p_{n,m}^k$  będzie zbiór komórek o ustalonych indeksach  $n$  i  $m$ , natomiast  $k$  będzie dowolny:

$$E_{n,m} = \{p_{n,m}^k : k = 0, 1, \dots, K\} \quad (18)$$

Algorytm równoległy będzie działał iteracyjnie względem *czasu*, podzielonego na  $K$  iteracji. W każdej iteracji zostanie wyliczona wartość jednej komórki  $p_{n,m}^k$ .

Porcja danych  $E_{n,m}$  to jednowymiarowa tablica. Daje to mniej zadań -  $N \times M$ . Dodatkowo, wyliczenie pojedynczej komórki z  $E$  wymaga już tylko czterech aktów komunikacji.

## 5.4 Mapping

Zadania  $E_{n,m}$  należy przypisać do fizycznych procesorów, na których będą wykonywane. Zadania mają identyczny *rozmiar* - można więc podzielić je równo na  $Z$  procesorów, pamiętając o wymaganiach komunikacyjnych (17). Jeden procesor powinien obsługiwać zadania sąsiadujące ze sobą przestrzennie - o kolejnych indeksach  $n$  i  $m$ .

Optymalnym sposobem podziału jest przydzielenie pojedynczemu procesorowi kilku całych, sąsiednich *wierszy* (ciągły obszar pamięci) ze zbioru  $\{E_{n,m}\}$ .

Niech  $Q_n$  oznacza zbiór zadań  $E_{n,m}$  w  $n$ -tym wierszu przestrzeni:

$$Q_n = \{E_{n,m} : m = 0, 1, \dots, M\} \quad (19)$$

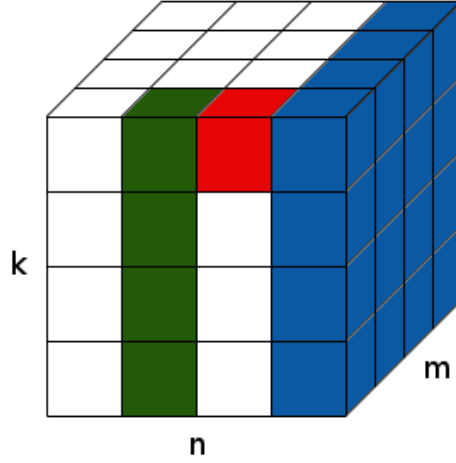


Figure 2: Podział siatki na zadania. Odpowiednimi kolorami oznaczono zadania:  $p_{n,m}^k$ ,  $E_{n,m}$ ,  $Q_n$ .

Przyjmujemy następujący podział zadań między procesory:

$$\begin{aligned} Z_1 &= \{Q_0, Q_1, \dots, Q_{|Z_1|-1}\} \\ Z_2 &= \{Q_{|Z_1|+0}, Q_{|Z_1|+1}, \dots, Q_{|Z_1|+|Z_2|-1}\} \\ &\dots \end{aligned} \quad (20)$$

W zależności od mocy obliczeniowej procesorów, podział może być dokonany na nierówne części. W testowanym przypadku każdy z procesorów otrzymał taką samą liczbę zadań.

## 6 Analiza wyników

*TODO*

## References

- [1] P. Frey, M. De Buchan, *The numerical simulation of complex PDE problems*, [http://www.ann.jussieu.fr/frey/cours/UdC/ma691/ma691\\_ch6.pdf](http://www.ann.jussieu.fr/frey/cours/UdC/ma691/ma691_ch6.pdf), 2008.
- [2] Hans Petter Langtangen, *Finite difference methods for wave motion*, [http://hplgit.github.io/INF5620/doc/pub/main\\_wave.pdf](http://hplgit.github.io/INF5620/doc/pub/main_wave.pdf), 2013.
- [3] Ian Foster, *Designing and Building Parallel Programs*, [www.mcs.anl.gov/~itf/dbpp/](http://www.mcs.anl.gov/~itf/dbpp/).
- [4] Knut-Andreas Lie, *The Wave Equation in 1D and 2D*, <http://www.uio.no/studier/emner/matnat/ifi/INF2340/v05/foiler/sim04.pdf>, 2005.
- [5] [https://en.wikipedia.org/wiki/Finite\\_difference](https://en.wikipedia.org/wiki/Finite_difference).